

ГЕОЛОГИЯ

УДК 551.8:551.763.3(477.75)

Д.П. НАЙДИН

**ПАРА ИЗВЕСТНЯК—МЕРГЕЛЬ РИТМИЧНОЙ КАРБОНАТНОЙ ТОЛЩИ  
СЕНОМАНА КРЫМА — ПОКАЗАТЕЛЬ РАЗЛИЧНЫХ  
ПАЛЕОГЕОГРАФИЧЕСКИХ РЕЖИМОВ ПОЛУЦИКЛОВ ПРЕЦЕССИИ**

Каждая пара известняк—мергель ритмичной карбонатной толщи сеномана Крыма формировалась на протяжении одного прецессионного цикла. Прецессия контролировала действие двух факторов: солнечную радиацию, обеспечивающую первичную продуктивность пелагиали, и геоэвстатические колебания моря, приводившие к изменению его глубины. Режимы действия этих факторов существенно различались для полуциклов прецессии, что и приводило к формированию литологически отличных пар. Мощность и темп образования составляющих пары при равной продолжительности полуциклов прецессии были различными.

Ритмичные толщи различных типов широко распространены в разрезах фанерозоя. Самым сложным при изучении таких толщ оказывается объяснение их происхождения. Высказывался широкий спектр объяснений: от примитивно-беспомощных до фантастически-нереальных.

В последние десятилетия при изучении сложенных ритмично повторяющимися парами пластов известняков и мергелей юрских и меловых толщ в некоторых регионах Европы и Северной Америки намечались реальные пути получения рациональных объяснений ритмичности.

Это оказалось возможным в результате привлечения к объяснению ритмичности астрономической теории колебаний климата четвертичного периода М. Миланковича [9]. Основываясь на математическом обобщении взаимодействия астрономических параметров, М. Миланкович показал, что в четвертичном периоде в результате ритмичного изменения режима солнечной радиации количество солнечной энергии, получаемой земной поверхностью, также ритмично изменялось, что приводило к колебаниям климата.

Теория М. Миланковича опубликована в 20—30-е гг. прошлого века. К сожалению, ее значение для расшифровки ритмичности дочетвертичных разрезов геологами, по выражению А. Гейла [28, с. 217], было «открыто» (?) много позже. В публикациях последних 20—25 лет по стратиграфии, литологии и палеогеографии мезозоя имя М. Миланковича упоминается необычайно часто, нередко без ссылок на его работы, а применение «циклов Миланковича» в геологии пода-

ется как не требующее ни обоснования, ни пояснения<sup>1</sup>.

Согласно теории орбитального контроля климатических условий, интенсивность инсоляции земной поверхности солнечной радиацией зависит от действия трех орбитальных параметров: эксцентриситета орбиты, наклона эклиптики планеты и связанной с предварением равноденствий прецессией ее оси вращения. Именно эти параметры часто называют «циклами Миланковича».

Колебания эксцентриситета земной орбиты изменяют общее количество получаемой от Солнца энергии. Вариации двух остальных параметров определяют широтное распределение солнечной радиации по земной поверхности. Величина солнечной энергии для Северного и Южного полушарий планеты, находящейся на эллиптической орбите, попеременно будет то большей, то меньшей, а климатические условия соответственно то теплыми, то прохладными.

Прецессией земной оси называют ее движение по круговому конусу. Это движение коррелируется с предварением равноденствий. Один полный оборот кругового конуса совершается примерно на протяжении полного смещения пунктов равноденствий и солнцестояний по земной орбите, т. е. в среднем за время порядка 22 000 лет. Сле-

<sup>1</sup> На русском языке основные положения астрономической теории М. Миланковича изложены в работах Д. Имбри и К.П. Имбри [5], В.А. Большакова и П.В. Большакова [2], В.И. Шмуратко [22], а ее значение для изучения ритмичности осадочных толщ рассмотрено в статьях Ю.М. Малиновского и П.В. Флоренского [8], И.И. Краснова [7], Д.П. Найдина [12, 13].

довательно, время летнего солнцестояния будет происходить через каждый полуцикл на противоположных сторонах эллиптической орбиты. Это означает, что *интенсивность солнечной радиации и, следовательно, климатические условия будут изменяться каждый полуцикл, т. е. каждые 11 000 лет.*

Обзор обширной современной литературы по ритмичности карбонатных толщ — за рамками настоящей статьи [11, 12, 18, 20]. Публикации на эту тему можно разделить на две группы. В первую входят те, в которых все орбитальные параметры привлекаются для объяснения ритмичности изучаемых разрезов. Ко второй группе относятся публикации, в которых наблюдаемая ритмичность связывается с действием только одного параметра.

Пожалуй, общим для многих публикаций является стремление получаемые результаты представлять как некие обобщения явления ритмичности.

Внимание автора сосредоточено на выяснении происхождения только одной пары известняк—мергель на материалах только одного ритмично построенного разреза.

В качестве единственного разреза выбран разрез сеноманских отложений, вскрытый на южном склоне горы Сельбухры, расположенной в юго-западной части Горного Крыма, близ учебной базы

Геологического факультета МГУ у с. Прохладное, в 6,5 км восточнее Бахчисарая [3, рис. 14; 6, рис. 1, 3, 4; 17, рис. 1, 2].

Литологическая и палеонтологическая информация о сеномане разреза горы Сельбухры содержится в [1, 3, 4, 16—18, 20, 29].

Исследован 12-метровый интервал ритмично построенных отложений верхней части разреза (рис. 1), сопоставляемый с зоной *Acanthoceras jukesbrownei* среднего сеномана на юго-востоке Англии [29, рис. 3].

По сравнению с нижней частью разреза горы Сельбухры, в которой достаточно ранообразны макрофоссилии, его верхняя часть характеризуется резким сокращением их содержания: исчезают белемниты, почти полностью отсутствуют аммониты, остаются некоторые двустворки, что, очевидно, свидетельствует об общем углублении бассейна [16, с. 16—20; 18, с. 29—30]. Присутствуют, вероятно, принесенные ветром споры плаунов и пыльца древесных голосеменных.

Мощность всего разреза сеномана разреза горы Сельбухры 50 м.

В литературе по ритмичности мезозойских карбонатных толщ наиболее обычно рассматривается пара известняк—мергель (ПИМ). В современных специальных трудах по литологии термин «мергель» не употребляется. В данной статье этот термин, весьма привычный для многих поколений отечественных геологов, сохранен.

Его рабочие вариации: собственно мергель (30—50% глинистых частиц), глинистый мергель (50—70%). Таким образом, слагающие ПИМ отличаются содержанием  $\text{CaCO}_3$ : известняки — достаточно литологически однородные породы с содержанием  $\text{CaCO}_3$  не менее 90%, и мергели — литологически более разнообразные породы.

Основная масса ПИМ крымского сеномана образована тонкомикритовым карбонатом кальция кокколитов, кальцифер (цисты известковистых динофлагеллат), мелких фораминифер. Но количественные соотношения основной массы и включений в составляющих пар различны.

Мощность пары 43—45 см, причем мощность известняков больше таковой мергелей (табл. 1; 2).

Нижняя составляющая ПИМ — тонкоплитчатые полосчато-серые и темно-серые мергели с высоким содержанием пелитовых частиц минералов из группы глин (смектит, гидрослюда и др.), кварца, полевых шпатов, слюды. Заметен мелкий органический детрит — обломочки призматического слоя иноцерамид, раковин крупных фораминифер и т.п. Среди фораминифер преобладают бентосные формы.

Верхняя составляющая ПИМ — светлоокрашенные, почти белые, известняки, практически нацело сложенные микритовым  $\text{CaCO}_3$  с ничтожным содержанием нерастворимого остатка. Планктонных фораминифер больше, чем бентосных.

В стенках обнажений известняки образуют выступы, а мергели — неглубокие ниши.

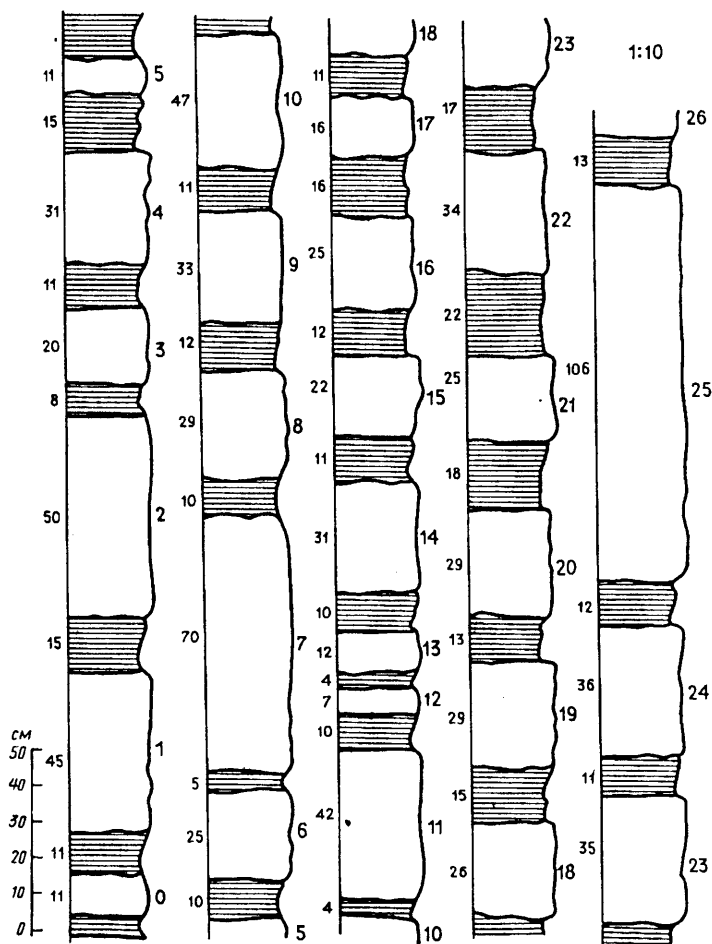


Рис. 1. Интервал ритмичной толщи сеномана разреза горы Сельбухры, Юго-Западный Крым [18, рис. 2]; цифры справа от колонок — номера пар известняк—мергель (табл. 1), слева — мощности (см) составляющих пары. Штриховка — мергели, без штриховки — известняки

Крымский разрез верхнего мела формировался в пределах пояса средних широт в обширном эпиконтинентальном море Европейской палеобассейна (ЕПО). На современном земном лике аналогии позднемелового моря ЕПО отсутствуют [14, с. 46]. Глубины моря были 100—200 м, местами и временами больше или меньше — до нескольких десятков и даже несколько-

Мергели вверх по разрезу сменяются известняками без перерыва, часто образуя в подолжье последних расчленяющиеся тонкие прослоечки. Совершенно иной характер контакта известняков с вышележащими мергелями. Поверхность кровли известняков обычно ровная, а в самой кровле наблюдаются образования «твердого дна» начальных, местами зрелых стадий развития [19, с. 20—29]. Следовательно, совершенно отчётливо распознаются подолжские приосакопления или замедления осадконакопления.

| Количество пар | M    | M <sub>n</sub> | M <sub>n</sub> |
|----------------|------|----------------|----------------|
| 25             | 45,3 | 11,8           | 33,5           |
| 21             | 43,1 | 12,5           | 30,6           |

Средняя мощность пары и ее составляющих (см. табл. 1) (без 7, 12, 13, 25)

Таблица 2

Примечание: M — мощность мергеля; M<sub>n</sub> — мощность известняков. При исключении пар мощностью меньше 20 см (12, 13) и больше 70 см (7, 25) сумма: M = 906, M<sub>n</sub> = 263, M<sub>n</sub> = 643 см.

| Номер пары известняк—мергель | M    | M <sub>n</sub> | M <sub>n</sub> |
|------------------------------|------|----------------|----------------|
| 1                            | 56   | 11             | 45             |
| 2                            | 65   | 15             | 50             |
| 3                            | 28   | 8              | 20             |
| 4                            | 42   | 11             | 31             |
| 5                            | 26   | 15             | 11             |
| 6                            | 35   | 10             | 25             |
| 7                            | 75   | 5              | 70             |
| 8                            | 39   | 10             | 29             |
| 9                            | 45   | 12             | 33             |
| 10                           | 58   | 11             | 47             |
| 11                           | 46   | 4              | 42             |
| 12                           | 17   | 10             | 7              |
| 13                           | 16   | 4              | 12             |
| 14                           | 41   | 10             | 31             |
| 15                           | 33   | 11             | 22             |
| 16                           | 37   | 12             | 25             |
| 17                           | 34   | 16             | 18             |
| 18                           | 37   | 11             | 26             |
| 19                           | 44   | 15             | 29             |
| 20                           | 42   | 13             | 29             |
| 21                           | 43   | 18             | 25             |
| 22                           | 56   | 22             | 34             |
| 23                           | 52   | 17             | 35             |
| 24                           | 47   | 11             | 36             |
| 25                           | 118  | 12             | 106            |
| Сумма                        | 1132 | 294            | 838            |

Мощности (см) пар известняк—мергель и их составляющих ритмичной голши сеномана разреза горы Сельбухры, Юго-Западный Крым [18, рис. 2]

Таблица 1

Гидродинамические факторы — течения и волнения — в условиях регионального и локального перераспределения глубин нарушали равновесность процесса осадконакопления. Разрыв и сдвиг осадков происходили как в подолжье, так и субэпиральных условиях. В карбонатных осадках повывалась концентрация нерастворимого остатка. Неисключалась эоловый принос некоторых его компонентов.

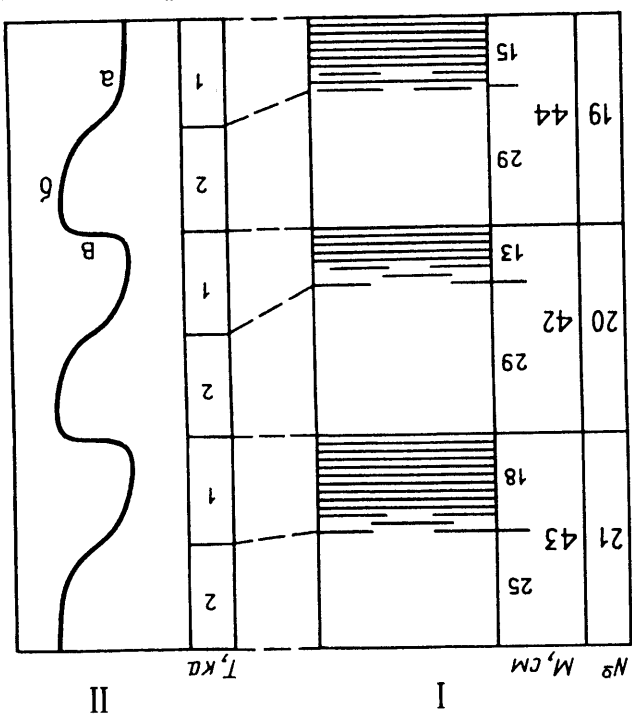
При понижении уровня моря в бассейне возникли бары, отмели, низменные острова, контурирование и положение которых не были постоянными [14, рис. 5].

При повышении уровня моря, а обмеления — при вечахли трансгрессии, обмеления — ретрессии бассейна: в первом приближении углубления от ретрессии определялись колебаниями глубин ватории (подобных крымскому) трансгрессии и ких метров. На удаленных от берегов участках ак-

При высоком уровне моря в хорошо прорываемых и освещаемых солнцем объемах воды развивались условия, благоприятные для процветания планктонных организмов, аккумуляировавших CaCO<sub>3</sub> в своих скелетах. На дне устанавливался равномерно протекавший процесс накопления обильного органического карбонатного материала.

При понижении уровня моря, а обмеления — при вечахли трансгрессии, обмеления — ретрессии бассейна: в первом приближении углубления от ретрессии определялись колебаниями глубин ватории (подобных крымскому) трансгрессии и ких метров. На удаленных от берегов участках ак-

Рис. 2. Реализация пресессии в ритмичной толще сеномана разреза горы Сельбухры, Юго-Западный Крым: I — конкретный материал; стратиграфическая последовательность пар № 19—21; мощность пары и ее составляющих (рис. 1, табл. 1). Штриховка — мергели, без штриховки — известняки; II — историческая геологическая интерпретация материала (подобности в тексте); накопление осадков каждой пары во время одной пресессии T (ка — одна тысяча лет); осадки, затем преобразованные в мергели, накапливались в первую половину цикла пресессии (I), осадки, превратившиеся в известняки — во вторую половину цикла пресессии (2) (см. табл. 3); кривая для всей ритмичной последовательности — график чередования мезоциклов трансгрессии (a—b) и быстрых ретрессии (θ); отрезок a—b отвечает средним значениям скорости образования со-



Таким образом, осадки, затем преобразовавшиеся в породы нижней и верхней составляющих каждой ПИМ, накапливались в существенно различных палеобиогеографических обстановках.

Из всех орбитальных параметров цикл преецессии наименьший по продолжительности. Представляется вероятным связывать с его развитием формирование наименьшего по мощности элемента ритмичной последовательности — пары известняк—мергель.

Если пара крымского ритмичного сеномана образовалась за один цикл преецессии (22 000 лет), то логично допустить, что каждая из составляющих пары запечатлевает полуцикл преецессии, т. е. 11 000 лет (рис. 2).

Количество поступающих на дно планктоногенных карбонатов определялось контролируемой климатом первичной продуктивностью пелагиали. Климатический контроль действовал через регулируемую астрономическими факторами солнечную радиацию.

Помимо связки инсоляция—климат преецессия воздействовала еще на один важнейший палеогеографический параметр — уровень моря.

В случае нахождения оси вращения планеты в океаносфере при перемещениях оси возникали колебания уровня моря. Явление геозвастазии<sup>2</sup> обычно маскируется другими более энергичными и масштабными типами эвстазии. Н.А. Мернер, специально изучавший явление геозвастазии, не исключал возможность привлечения к объяснению развития орбитальных сил [32, с. 143—144].

Осадки нижней составляющей ПИМ (мергели) накапливались в первую половину преецессионного цикла, когда получаемая поверхностью моря солнечная радиация была достаточной для обеспечения относительно невысокой продуктивности пелагиали, а геозвастатические колебания уровня приводили к нарушению равномерного накопления планктоногенных карбонатов и обогащению их глинистыми частицами.

Осадки верхней составляющей ПИМ (известняки) формировались во время второго преецессионного полуцикла при углублении моря, связанном с геозвастатическим повышением его уровня. В бассейне устанавливался режим равномерного осадконакопления. Вследствие усиления солнечной радиации резко возрастала продуктивность пелагиали и, следовательно, масса продуцируемых органогенных карбонатов.

Возникали условия, принципиально близкие описанным А. Кароззи [24] по разрезам нижнего карбона Северной Америки. А. Кароззи рассмотрел вопрос о соотношении медленного эвстатического повышения уровня моря при трансгрессии и карбонатной продуктивности пелагиали. Возможны два варианта: продуктивность отстает от эвстатического повышения уровня и она опережает повышение уровня, что может завершиться обмелением бассейна.

В сеноманском бассейне Крыма, как можно полагать, в целом преобладал первый вариант. Но

<sup>2</sup> Геозвастазия — колебания уровня моря, связанные с изменением формы и величины геоида, перемещением полюсов, изменением скорости вращения планеты [11, с. 13].

в конце цикла преецессии развивался второй вариант: темп накопления карбонатов стал опережать повышение уровня моря. При его повышении происходило обмеление.

О значительном обмелении крымского бассейна свидетельствуют образования «твердого дна» (хардграунды) в кровле пластов известняков верхней составляющей ПИМ.

Затем, с началом нового цикла преецессии, в соответствии со сменой режима как солнечной радиации, так и геозвастазии резко изменился характер осадконакопления — началось формирование «мергелей» следующей ПИМ.

Преецессия контролировала работу двух факторов, непосредственно управлявших накоплением планктоногенных карбонатов эпиконтинентального моря средних широт. Первый фактор — солнечная радиация, обеспечивавшая первичную продуктивность пелагиали. Второй — геозвастазия, изменявшая глубину мелководного (и сверхмелководного) моря.

Режим действия этих факторов был существенно различным для полуциклов преецессии, что и приводило к формированию пары известняк—мергель. Именно пары естественно связанных происхождения составляющих.

Следует особо подчеркнуть, что мощность и темп формирования слагающих пары при равной продолжительности полуциклов преецессии были различными (табл. 2, 3).

Выяснение условий образования одной пары известняк—мергель необходимо для реконструк-

Таблица 3

Средняя скорость ( $X$ ) образования составляющих пары (см/1000 лет) при  $T = 22\ 000$  лет (см. табл. 1)

| Количество пар         | $X_m$ | $X_n$ |
|------------------------|-------|-------|
| 25                     | 1,1   | 3,0   |
| 21 (без 7, 12, 13, 25) | 1,1   | 2,8   |
| № 19                   | 1,4   | 2,6   |
| № 20                   | 1,2   | 2,6   |
| № 21                   | 1,6   | 2,3   |

Примечание. Скорости образования:  $X_m$  — мергелей,  $X_n$  — известняков

ции происхождения всей ритмичной последовательности. На рис. 2 приведен лишь короткий фрагмент кривой ритмичной последовательности крымского сеномана, но иллюстрирующий основную особенность асимметричности «зубцов» кривой.

По этому признаку кривая принципиально близка к пилообразному графику берегового перекрытия пассивной континентальной окраины Северной Америки, представляющего фактический материал сейсмостратиграфического исследования и по которому составлена общеизвестная кривая эвстатических колебаний уровня моря — так называемая кривая Вейла [14, с. 45, 46, рис. 3; 15, с. 49, 50; 31, рис. 3].

График берегового перекрытия инструментально регистрирует постепенное или умеренно быстрое с замедлением во времени наступление моря на сушу (landward) (наклонный протяженный участок каждого асимметричного зубца гра-

1. Аллесев А.С. Верхний отдел меловой системы // Геологическое строение Кавказского полуострова // Геологическое строение Кавказа и юго-западной России. М.: Изд-во МГУ, 1989. С. 123—166.

2. Большаков В.А., Большаков П.В. Астрономическая теория палеоклимата — новая концепция // Стратиграфия. Геол. корреляция. 1999. Т. 7. № 6. С. 3—13.

3. Габдуллин Р.Р. Ритмичность верхнемеловых отложений Русской плиты, северо-западного Кавказа и юго-западного Крыма (строение, классификация, модели формирования). М.: Изд-во МГУ, 2002. 303 с.

4. Джаякришнан С., Плуосни И.И., Копасевич Л.Ф. Исследование известняков Юго-Западного АН СССР. Сер. географ. 1973. № 2. С. 9—19.

5. Имбрий И., Имбрий К.П. Тайны ледниковых эпох. М.: Прогресс, 1988. 263 с.

6. Иолкичев Н.А., Наидин Д.П. Верхний мел Северной Болгарии, Крыма и Мангышлака. Статья 2. Стратиграфия верхнего мела юго-западной части Горного Крыма // Бюл. МОИП. Отд. геол. 1999. Т. 74. В. 5. С. 48—59.

7. Краев И.И. Опыт прогноза геологического и физико-географического развития Земли по ритмостратиграфическим схемам и астрономическим расчетам // Изв. АН СССР. Сер. географ. 1973. № 2. С. 9—19.

ЛИТЕРАТУРА

Аллесев А.С. Верхний отдел меловой системы // Геологическое строение Кавказского полуострова // Геологическое строение Кавказа и юго-западной России. М.: Изд-во МГУ, 1989. С. 123—166.

Большаков В.А., Большаков П.В. Астрономическая теория палеоклимата — новая концепция // Стратиграфия. Геол. корреляция. 1999. Т. 7. № 6. С. 3—13.

Габдуллин Р.Р. Ритмичность верхнемеловых отложений Русской плиты, северо-западного Кавказа и юго-западного Крыма (строение, классификация, модели формирования). М.: Изд-во МГУ, 2002. 303 с.

Джаякришнан С., Плуосни И.И., Копасевич Л.Ф. Исследование известняков Юго-Западного АН СССР. Сер. географ. 1973. № 2. С. 9—19.

Имбрий И., Имбрий К.П. Тайны ледниковых эпох. М.: Прогресс, 1988. 263 с.

Иолкичев Н.А., Наидин Д.П. Верхний мел Северной Болгарии, Крыма и Мангышлака. Статья 2. Стратиграфия верхнего мела юго-западной части Горного Крыма // Бюл. МОИП. Отд. геол. 1999. Т. 74. В. 5. С. 48—59.

Краев И.И. Опыт прогноза геологического и физико-географического развития Земли по ритмостратиграфическим схемам и астрономическим расчетам // Изв. АН СССР. Сер. географ. 1973. № 2. С. 9—19.

новение в меловых разрезах Колорадо поразительно равномерно-монотонного чередования состоящих из слоев известняка и слоя известковистой глины пар слоев (pair of beds) мощностью 18 дюймов (45,7 см). По его заключению, только одна причина — преемственность — преемственная равновесная (precession-parallel cycle), так как из различных пиков, известных автору, только он один представляется способным объяснить явление. Способность преемственности пика продолговать климатические осцилляции по-ступается без аргументации» [30, с. 127].

Подолжителность формирования ритмичных циклов П.Л. де Бур и А. Вондерз [23, с. 187] предположили оценивать «единица гильберта» (gilbert unit), под которыми понимается время, соответствующее продолжительности цикла преемственности. Статья Г.К. Гильберта представляет пример блестящего научного предвидения. В ней рассмотрено значение ритмичности не столько для решения стратиграфических задач расчленения и сопоставления разрезов, сколько для количественных определений геологического времени. В статье, опубликованной в конце позапрошлого (i) века и более чем за 10 (ii) лет до получения первых ритмостратиграфических данных, Гильберт наметил ясно формулированную перспективу получения количественных оценок продолжительности интервалов прошлого времени по седиментостратиграфическим особенностям (и не только ритмостратиграфическим) разрезам. В сложившейся геологической практике для количественной оценки прошедшего времени широко используются различные ритмические датировки. В силу различных причин (которые здесь не рассматриваются) ритмостратиграфические оценки стратиграфических границ мезозоя и кайнозоя часто весьма далеки от желаемой точности. Для некоторых типов разрезов меловой системы более приемлемые результаты доставляет применение основанных на определенных скорости процесса осадконакопления седиментостратиграфических методов [10, с. 15].

Актуальность совместного применения седиментостратиграфических и астрономических методов и ритмостратиграфических методов для получения надежных значений временных оценок графика преемственности очевидна.

8. М а л и н о в с к и й Ю.М., Ф л о р е н с к и й П.В. О связи циклических астрономических явлений с колебаниями климата и ритмичностью осадочных толщ // Проблемы планетарной геологии. М., 1963. С. 122—128.
9. М и л а н к о в и ч М. Математическая климатология и астрономическая теория колебаний климата. М.-Л.: ГОНТИИ, 1939. 194 с.
10. Н а й д и н Д.П. Новая радиометрическая шкала фанерозоя // Вестн. МГУ. Сер. 4, Геология. 1983. № 6. С. 12—17.
11. Н а й д и н Д.П. Уровень Мирового океана в конце мезозоя // Вестн. МГУ. Сер. 4, Геология. 1985. № 3. С. 12—22.
12. Н а й д и н Д.П. Астрономические вариации, флуктуации климата и ритмичность карбонатных толщ. Статья 1. Актуалистические предпосылки. Параметры земной орбиты и климат // Изв. вузов. Геология и разведка. 1989. № 10. С. 35—47.
13. Н а й д и н Д.П. Астрономические вариации, флуктуации климата и ритмичность карбонатных толщ. Статья 2. Климатические флуктуации и ритмичные карбонатные толщи мезозоя // Изв. вузов. Геология и разведка. 1990. № 6. С. 29—43.
14. Н а й д и н Д.П. Эвстазия и эпиконтинентальные моря Восточно-Европейской платформы в поздне меловую эпоху. Статья 1. Океаносфера и моря платформы // Бюл. МОИП. Отд. геол. 1995. Т. 70. В. 2. С. 41—58.
15. Н а й д и н Д.П. Эвстазия и эпиконтинентальные моря Восточно-Европейской платформы. Статья 2. Верхнемеловые секвенции платформы // Бюл. МОИП. Отд. геол. 1995. Т. 70. В. 5. С. 49—65.
16. Н а й д и н Д.П., А л е к с е е в А.С. Разрез отложений сеноманского яруса между речья Качи и Бодрака (Крым) // Изв. вузов. Геология и разведка. 1980. № 4. С. 11—25.
17. Н а й д и н Д.П., А л е к с е е в А.С. Значение данных океанского бурения для интерпретации обстановки накопления и условий обитания фауны сеномана Горного Крыма // Эволюция организмов и биостратиграфия середины мелового периода. Владивосток, 1981. С. 7—21.
18. Н а й д и н Д.П., К и я ш к о С.И. Геохимическая характеристика пограничных отложений сеноман/турон Горного Крыма. Статья 1. Литологический состав, содержание органического углерода и некоторых элементов // Бюл. МОИП. Отд. геол. 1994. Т. 69. В. 1. С. 28—42.
19. Н а й д и н Д.П., К о п а е в и ч Л.Ф. Внутрiformационные перерывы верхнего мела Мангышлака. М.: Изд-во МГУ, 1988. 140 с.
20. Ф р о л о в В.Т., Д ж а й а к р и ш н а н С. Циклиты верхнемеловых известняков Горного Крыма и их возможная природа // Вестн. МГУ. Сер. 4, Геология. 1996. №4. С. 59—66.
21. Циклическая и событийная седиментация /Под ред. Г. Эйнзеле, А. Зейлахера. М.: Мир, 1985. 502 с.
22. Ш м у р а т к о В.И. Теория М. Миланковича и функциональное моделирование палеоклиматов. Л.: Гидрометеоиздат, 1991. 151 с.
23. В о е r P.L. de, W o n d e r s A.A.H. Astronomically induced rhythmic bedding in Cretaceous pelagic sediments near Moria (Italy) // Milankovitch and Climate. Pt 1. Dordrecht. 1984. P. 177—190.
24. C a r o z z i A. New eustatic model for the origin of carbonate cyclic sedimentation // Archives des Sciences Genève. 1986. V. 39. fasc. 1. P. 53—65.
25. F i s c h e r A.G. Gilbert-bedding rhythms and geochronology // Geol. Soc. America Spec. Pap. 183. 1980. P. 93—104.
26. F i s c h e r A.G. Cyclostratigraphy of Cretaceous chalk-marl sequences // W.G.E. and E.G. Kauffman (eds). Evolution of the Western Interior Basin. Geol. Ass. Canada Spec. Pap. 39. 1993. P. 283—295.
27. F i s c h e r A.G., B o t t j e r D.J. Orbital forcing and sedimentary sequences // J. Sedimentary Petrology. 1991. V. 61, P. 1063—1069.
28. G a l e A.S. Cyclostratigraphy // Advances in Modern Stratigraphy. P. Doyle and M.R. Bennett (eds). 1998. P. 195—220.
29. G a l e A.S., H a n c o c k J.M., K e n n e d y W.J. Biostratigraphical and sequence correlation of the Cenomanian successions in Mangyshlak (W. Kazakhstan) and Crimea (Ukraine) with those in southern England // Bulletin Institut royal des Sciences Naturelles de Belgique. Sciences de la Terre. V. 69. Suppl.A. 1999. P. 67—86.
30. G i l b e r t G.K. Sedimentary measurement of Cretaceous time/ Journal of Geology. 1895. V.3. P. 121—127.
31. H a q B.U., H a r d e n b o l J., V a l l P.R. Chronology of fluctuating sea levels since the Triassic // Science. 1987. V. 235. P. 1156—1176.
32. M ö r n e r N.-A. Eustasy and geoid changes // J. of Geology. 1976. V. 84. P. 123—151.

Московский государственный университет  
Рецензент — В.М. Цейлер

r Caldwell